

ORIGINAL ARTICLE

Feasibility Analysis of Using Anatomic and Dental Formulas in Human Identification

Elahe Tahmasebi¹,
Shahryar Karami²,
Samira Hajisadeghi³,
Mahmood Tavallaie⁴,
Mohsen Yazdanian¹,
Mahmood Salesi¹,
Maryam Ramezani⁴

¹ Assistant Professor, Research Center for Prevention of Oral and Dental Diseases, Baqiyatallah University of Medical Sciences, Tehran, Iran

² Orthodontist, Department of Orthodontics, School of Dentistry, Tehran Medical Sciences, Islamic Azad University, Tehran, Iran

³ Assistant Professor, Department of Oral and Maxillofacial Medicine, School of Dentistry, Qom University of Medical Sciences, Qom, Iran

⁴ Associate Professor, Human Genetic Research Centre, Baqiyatallah University of Medical Science, Tehran, Iran

(Received July 19, 2022 ; Accepted July 24, 2022)

Abstract

Background and purpose: Dental and skeletal features, unlike soft tissues, remain unchanged in events where most body tissues are destroyed such as car accidents, plane crash, crimes, etc. Panoramic and lateral cephalometric radiographs can provide useful information about dental and cephalometric indicators in human identification.

Materials and methods: A cohort retrospective study was carried out in five stages, including collecting the samples, using a specific tooth counting system, identifying the landmarks in panoramic radiographs and designing a dental formula, designing anatomical formula with cephalometric indicators and identifying operator errors, and matching and data analysis.

Results: We studied 180 people, including 97 (54%) women and 83 men aged 15-59 (mean age= 25.5) years in Tehran. Average indexes of missing (M), filled (F), Root Canal Therapy (RCT) teeth, crown (C), (Body/Go-Go), (Mf-Mf/Mf-Go(R+L)), De, P, ER, Go in lateral Cephalometry, SNA, SNB, Basal, N-Ans-Me, Ans-Pns/Go-Me, and S-Go/N-Me were not significantly different between cases by comparing the graphs before and after treatments ($P>0.05$). Examination of average indices of implant and dilacerated teeth in general and without considering the number of teeth, did not show a significant difference when the pre/post-treatment graphs were compared ($P>0.05$). In examining the Co-Ans/Co-Gn, Go in panoramic graph, (S-N/S-Ba) and S-N-Ba, no significant difference was observed between the cases ($P>0.05$).

Conclusion: Panoramic, lateral cephalometric graphs and designing creative formula can be used in human identification.

Keywords: panoramic radiograph, human identification, lateral cephalometry

J Mazandaran Univ Med Sci 2022; 32 (212): 107-119 (Persian).

Corresponding Author: Mohsen Yazdanian - Research Center for Prevention of Oral and Dental Diseases, Baqiyatallah University of Medical Sciences, Tehran, Iran (E-mail: myazdaniandr@gmail.com)

بررسی امکان سنجی استفاده از فرمول دندانی و آناتومیک در تشخیص هویت انسانی

الهه طهماسبی^۱

شهریار کرمی^۲

سمیرا حاجی صادقی^۳

محمد توکلی^۴

محسن یزدانیان^۱

محمود ثالثی^۱

مریم رمضانی^۴

چکیده

سابقه و هدف: ویژگی‌های دندانی و اسکلتی برخلاف بافت نرم در حوادثی (مانند تصادفات رانندگی، سقوط هوایپما، جنایات و ...) که اکثر بافت‌های بدن از بین می‌روند، بدون تغییر باقی می‌مانند. رادیوگرافی‌های پانورامیک و لترال سفالومتری، می‌توانند اطلاعات مفیدی در خصوص شاخص‌های دندانی و سفالومتریک در اختیار قرار دهد، لذا این مطالعه به بررسی امکان سنجی استفاده از فرمول دندانی و آناتومیک در تشخیص هویت انسانی پرداخت.

مواد و روش‌ها: این مطالعه کوهورت گذشته نگر در قالب پنج مرحله شامل جمع‌آوری نمونه، یکسان‌سازی سیستم شمارش دندان، شناسایی لندمارک‌ها در پانورامیک و طراحی فرمول دندانی، طراحی فرمول آناتومیک با شاخص‌های سفالومتریک و شناسایی خطای اپراتور، تطبیق و آنالیز داده‌ها انجام شد.

یافته‌ها: در مطالعه حاضر، 180 مورد شامل 97 زن (54 درصد) و 83 مرد در بازه سنی 15 تا 59 سال (میانگین 25/5 سال) در شهر تهران بررسی شدند. میانگین شاخص‌های M، (Body/Go-Go)، C، (Root Canal Therapy)، RCT.F، (crown) و (Ans-Pns/Go-Me)، N-Ans-Me، Basal، SNB، SNA، Go، ER، P، De، (Mf-Mf/Mf-Go(R+L))، (S-Go/N-Me) بین دندان‌ها با مقایسه گرافی قبل و بعد از درمان تفاوت معنی‌داری نداشتند ($P>0/05$). میانگین شاخص‌های Im، (implant) و d، (dilaceration) به طور کلی و بدون در نظر گرفتن شماره دندان، در مقایسه گرافی قبل و بعد از درمان تفاوت معنی‌داری نشان نداد ($P>0/05$). در بررسی شاخص‌های (Co-Ans/Co-Gn)، Go، (Co-Ans/Co-Gn)، (P>0/05) و S-N-Ba، (S-N/S-Ba) و (S-N-Ba) نشان نداشتند ($P>0/05$).

استنتاج: تهیه گرافی‌های پانورامیک و لترال سفالومتری و طراحی فرمولی خلاقالنه می‌تواند در تشخیص هویت انسانی کاربرد داشته باشد.

واژه‌های کلیدی: پانورامیک، تشخیص هویت انسان، لترال سفالومتری

مقدمه

علم و تکنولوژی تشخیص هویت افراد براساس خصوصیات فیزیکی و رفتاری را زیست‌سنجی (Biometric) می‌نامند (۱). زیست سنجی فیزیولوژیک مانند اثر انگشت، خصوصیات صورتی، DNA و... اطلاعات بسیار مفیدی

E-mail:myazdaniandr@gmail.com

مولف مسئول: محسن یزدانیان - تهران: دانشگاه علوم پزشکی بقیه الله، مرکز تحقیقات پیشگیری از بیماری‌های دهان و دندان

۱. استادیار، مرکز تحقیقات پیشگیری از بیماری‌های دهان و دندان، دانشگاه علوم پزشکی بقیه الله، تهران، ایران

۲. متخصص ارتووندیسی، گروه ارتووندیسی، دانشکده دندانپزشکی، دانشگاه علوم پزشکی آزاد اسلامی تهران، تهران، ایران

۳. استادیار، گروه یماری‌های دهان و فک و صورت، دانشکده دندانپزشکی، دانشگاه علوم پزشکی قم، قم، ایران

۴. دانشیار، مرکز تحقیقات زیست‌ک انسانی، دانشگاه علوم پزشکی بقیه الله، تهران، ایران

تاریخ دریافت: 1401/4/28 تاریخ ارجاع چوتا: 1401/4/30 تاریخ تصویب: 1401/5/2

می شوند Post-Mortem یا PM (بعد از مرگ) گفته می شود(3,12,27-24). تطبیق تصاویر رادیوگرافی AM و PM از جمله مواردی است که جهت تشخیص هویت افراد استفاده شده است(4,28). با توجه به اهمیت تشخیص این موارد بر آن شدیدم این مطالعه را با هدف بررسی رادیوگرافی پانورامیک و لترال سفالومتری از جهت دندانی و اسکلتال و کمک آن به تشخیص هویت انسانی انجام دهیم. نتایج این مطالعه می تواند در صورت بروز حوادث غیرقابل پیش بینی کمک بسیار ارزشمندی در شناسایی پیکرهایی که قابل شناسایی نیستند، باشد. از طرف دیگر از آن جایی که در حال حاضر در اکثر کشورها برای این چنین موارد از تست های گران قیمت و زمان بر استفاده می شود، نتایج این طرح می تواند در صرفه جویی قابل توجه در زمینه هزینه و زمان موثر باشد.

مواد و روش ها

این مطالعه از نوع کوهورت گذشته نگر بود. با توجه به نتایج مطالعه Hofler که در آن حداقل میزان صحبت رادیوگرافی پانورامیک در تشخیص هویت بیماران 85 درصد گزارش شده است و با جایگذاری این نسبت در فرمول حجم نمونه برای برآورد نسبت و لحاظ کردن خطای نوع اول 5 درصد و توان آزمون 80 درصد و میزان دقیق 10 درصد، حجم نمونه ای برابر با 180 نمونه محاسبه شد(1). 180 بیمار ارتودنسی درمان شده که دارای رادیوگرافی پانورامیک و لترال سفالومتری قبل و بعد از درمان با حداقل فاصله 2 سال بودند و بین سال های 1395 تا 1400 جهت درمان مراجعت کرده 360 بودند، انتخاب شدند (تعداد 720 رادیوگرافی شامل رادیوگرافی پانورامیک و 360 رادیوگرافی لترال سفالومتری بررسی شدند).

با توجه به این که مطالعه حاضر بر روی رادیوگرافی بیماران انجام شد، هیچ مشکل اخلاقی متوجه طرح تحقیقاتی نمی شد و همچنین طرح دارای کد اخلاق (IR.BMSU.REC.1399.265) است.

را در خصوص تشخیص هویت انسانی در اختیار می گذارد(2-4). از کاربردهای مرتبط با دندانپزشکی این علم می توان به نقش مواردی چون ساختار آناتومیک و هیستولوژیک دندانی، لندمارک های استخوانی صورت، سینوس های صورت مانند سینوس مانگزیلاری و فروتال، بزاق، DNA مستخرج از پالپ دندان، Lip Print و Bite Mark اشاره کرد(5-7). بیش تر موارد زیست سنجی هنگامی که جهت ابزار کمک تشخیصی بعد از مرگ ناشی از بلایای طبیعی (زلزله و سونامی)، آتش سوزی، تصادفات شدید موتورسیکلت، انفجارهای جنگی و .. که بافت نرم فرد به شدت آسیب دیده است، مفید واقع نمی شود(2,1). طی دهه گذشته افزایش قابل ملاحظه ای در حوادث جمعی و جنایی رخ داده است که فرآیند تشخیص هویت را بیش از پیش با اهمیت کرده است(5). شاخه ای از علم تشخیص هویت Forensic odontology است که به کمک ساختارهای دهانی و دندانی که جزء ساختارهای با مقاومت بسیار بالا در بدن می باشند، به تشخیص هویت افراد کمک می کند(4-8,21). مهم ترین امتیاز استفاده از ویژگی های زیست شناختی دندان در شناسایی افراد فوت شده، مربوط به زمانی است که ویژگی های زیست شناختی دیگر مثل عنیبه، اثر انگشت و چهره قابل استفاده نباشد(12,13). ویژگی های دندانی برخلاف بافت نرم در حوادثی که اکثر بافت های بدن تغییر می یابند و یا از بین می روند (مثل تصادفات شدید رانندگی، سقوط هوایپما، زلزله، جنایات شدید و ...) بدون تغییر باقی می مانند(14-19). تصاویر رادیوگرافی دندان چه به صورت Bitewing و چه به صورت پانورامیک اطلاعاتی مثل شکل تاج و ریشه، درمان های دندان مثل پر کردگی و Bridge را فراهم می کنند(20-23). همچنین در رادیوگرافی لترال سفالومتری اطلاعاتی در زمینه زوایای دندانی و اسکلتال فراهم می شود که می تواند در آنالیزها به ما کمک کند(3). به تصاویر رادیوگرافی که پیش از مرگ گرفته شده اند Ante-Mortem یا AM (قبل از مرگ) و به تصاویری که بعد از مرگ گرفته

بر طبق مطالعات انجام شده، در رادیوگرافی پانورامیک تهیه شده از بیمار موارد زیر مشخص و در قالب یک فرمول در پایگاه جمع‌آوری داده ذخیره شدن:

1- missing دندانی (از سگمان بالا راست و دندان سترال به عقل تا سگمان پایین راست به ترتیب، همچنین در صورت وجود missing در کل سگمنت دندانی از واژه‌های UR {بالا راست}، UL {بالا چپ}، LR {پایین راست}، LL {پایین چپ} استفاده شد).

در صورتی که بیمار دندان کشیده شده قبلی داشت نیز، جزو این دسته قرار گرفت.

- در صورتی که بیمار دندان نهفته غیرقابل رویش داشت نیز، جزو این دسته قرار گرفت و با I + شماره دندانی مشخص شد.

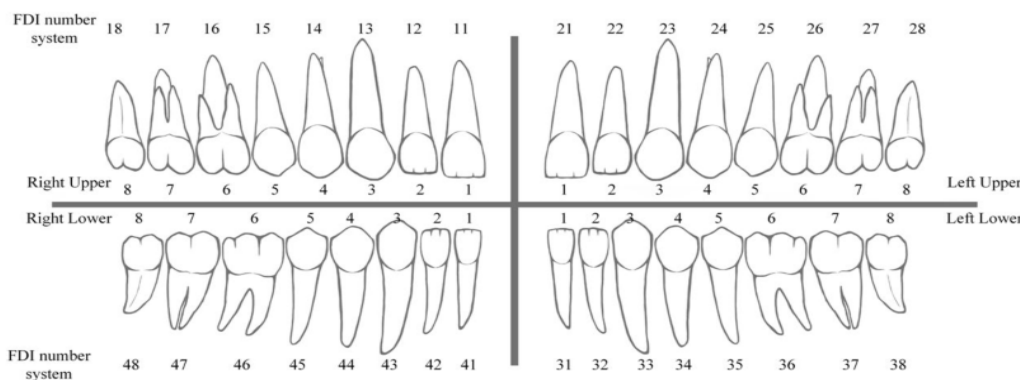
2- دندان اضافه (UR {بالا راست}، UL {بالا چپ}، LR {پایین راست}، LL {پایین چپ}).

در صورت وجود دندان اضافه در خط وسط فک بالا (مزیونس) با حرف m مشخص شد.

3- implant دندانی در ناحیه سگمان دندانی که قبل کشیده شده بود (در صورتی که فرد در سگمنتی بی دندان بود مثل مورد بالا از واژه‌های UR {بالا راست}، UL {بالا چپ}، LR {پایین راست}، LL {پایین چپ} استفاده شد).

معیارهای ورود به مطالعه شامل سن بیماران مورد مطالعه بین 15-65 سال، درمان ارتودنزی ثابت adjunctive به صورت non-ext و بدون بستن فضای وجود رادیوگرافی پانورامیک لترال سفالومتری قبل و بعد از درمان، حداقل فاصله بین رادیوگرافی قبل و بعد بیمار 2 سال باشد، کشیدن دندان جزو اهداف درمانی بیمار نباشد و همچنین در صورت وجود فضای بستن فضای جزو اهداف درمانی نباشد، بیمار سابقه انجام کار دندانپزشکی (ترمیم، درمان ریشه، کراون) حین درمان ارتودنزی نداشته باشد و بیمار سابقه orthognathic surgery درمان ارتودنزی نداشته باشد (4). این مطالعه در قالب 5 مرحله شامل جمع‌آوری نمونه، یکسان‌سازی سیستم شمارش دندان، شناسایی موارد در پانورامیک و طراحی فرمول دندانی، موارد بربرسی در رادیوگرافی لترال سفالومتری و طراحی فرمول آناتومیک، شناسایی خطای اپراتور و matching و آنالیز داده‌ها انجام شد.

رادیوگرافی بیماران، از کلینیک امام خمینی، شهید شکری و بخش ارتودنزی دانشکده دندانپزشکی دانشگاه آزاد اسلامی تهران، انتخاب شدند. نمونه‌ها دارای رادیوگرافی قبل و بعد از بیمار با فاصله حداقل 2 سال بودند و همچنین موارد مشخص شده در پرونده بیماران درج شده بود. این مطالعه بر اساس سیستم شمارش دندانی FDI صورت گرفت (تصویر شماره 1).



تصویر شماره 1: سیستم FDI شمارش دندانی

در این رادیوگرافی کدها به صورت یک کد 11 رقمی، ساخته شدند (تصویر شماره 2).

✓ M, S, Im, C, F, RCT, D, Body/Go-Go, Mf-Mf/Go(R+L), Go, Sc/De/Et/P

از رادیوگرافی لترال سفالومتری در تشخیص هویت در مطالعات متعدد مورد بررسی، به صورت روتین استفاده نشده است. در صورتی که اگر از فرمول آناتومیک که از لندهمارک‌های ثابت در رادیوگرافی لترال سفالومتری به دست می‌آید به صورت توانم با فرمول دندانی استفاده شود، دقت و صحت کار افزایش می‌یابد، چراکه ممکن است در حوادث به وجود آمده دندان‌ها دچار شکستگی شوند و دقت فرمول دندانی کاهش یابد.



تصویر شماره 2: لندهمارک‌های خلقوط مورد استفاده در رادیوگرافی پانورامیک

همچنین ممکن است فرد آسیب دیده بی‌دندان باشد و در این صورت فرمول آناتومیک به کار می‌آید و باعث صحت بیش تر تشخیص هویت و افزایش افراد تحت پوشش فرمول می‌گردد. اندازه گیری‌های رادیوگرافی لترال سفالومتری، به دو مورد اندازه گیری‌های زاویه‌ای و اندازه گیری‌های خطی تقسیم شدند. شایان ذکر است در مورد اندازه گیری‌های خطی، به جای استفاده از طول خطوط، جهت حذف فاکتور بزرگ‌نمایی از نسبت بین خطوط استفاده شد.

اندازه گیری‌های زاویه‌ای شامل: زاویه گونیال (براساس SN) (در صورت وجود 2 بوردر و به تبع 2 Go, SNA, Mianگین نقاط به عنوان Go در نظر گرفته شد)،

4- دندان دارای کراون (به جز وجود کراون در موارد implant). همچنین در صورت وجود post قبل از عدد دندان عدد p درج شد.

5- دندان دارای ترمیم (در صورتی که ترمیم فقط در سطح اکلوزال بود کتاب نام دندان حرف O در صورتی که در سطح مزیال بود حرف M در صورتی که سمت دیستال بود حرف D، سمت اکلوزال و مزیال OM، اکلوزال و دیستال OMD) (OMD)

6- دندان RCT (درمان ریشه) شده.

7- وجود دایلارسیشن (انحنای شدید ریشه دندان).

8- نسبت جمع پهنه‌ای Body مندیل چپ و راست (از جایی که سطح داخلی راموس بیشتر تغیر را دارد تا سطح خارجی با رسم خط افق واقعی پانورامیک) به فاصله GO-GO ضرب درصد.

9- نسبت فاصله بین منتال فورامن چپ و راست (شناسایی منتال فورامن با روش مقاله gender determination by radiographic analysis of mental foramen in the Maharashtra population of india) با رسم خط افقی از سطح خارجی فورامن چپ و راست به جمع فاصله منتال فورامن تا GO چپ و راست ضرب درصد(30).

10- زاویه گونیال (اول سمت راست و بعد سمت چپ). (31).

11- موارد خاصی مثل (پیچ فکی، ضایعه defect) استخوانی، سایش کندیلی، پاتولوژی خوش خیم). پیچ فکی (Screw): +Sc گمان دندانی (پیچ فکی در ناحیه چانه با Sch مشخص شد).

ضایعه (Defect) استخوانی (ورتیکال، زاویه‌ای): +Sc گمان دندانی.

سایش کندیلی (Erosion): +R (Rاست) یا +L (Lاست). ضایعات خوش خیم پای دندان (منتظر از پاتولوژی خوش خیم، مواردی مانند سمنتواستوس دیسپلازی و سایر اپسیته‌هایی از این قبیل که نیاز به برداشت ندارند): شمارش دندانی P+ یا سگمان دندانی (در صورت وسیع بودن ضایعه) یا mu در صورت وجود در خط وسط بالا و ml در صورت وجود در خط وسط پایین.

کدهای به دست آمده از رادیوگرافی پانورامیک و لترال سفالومتری توسط دو ارتوونتیست دیگر مجدد ارزیابی و نتایج در پایگاه داده‌ها ذخیره شد. در صورت تفاوت اندازه‌گیری‌ها بین اندازه‌گیری کننده‌ها یا آن مورد از مطالعه کثار گذاشته شد یا به توافق جمعی رسیده شد. هم‌چنین با مقایسه کدهای مربوط به یک بیمار اختصاصی‌ترین نقاط و زوايا و اندازه‌گیری‌ها معرفی شد.

آنالیز آماری

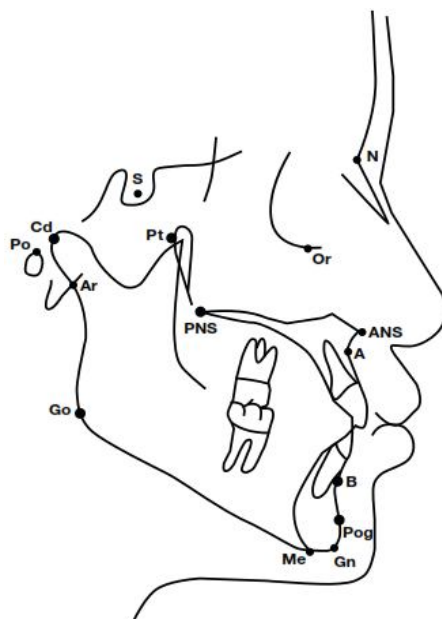
پس از جمع آوری داده‌ها آنالیز آماری به صورت زیر انجام شد:

جهت مقایسه دو گرافی از آزمون‌های آماری مناسب شامل Mc nemar و paired T-test استفاده شد.
مقایسه داده‌های کمی از جمله SNB SNA Go (lateral cephalometry) (S-N/S-Ba*100)، (N.Ans.Me) Basal S.N.Ba (N-Ans/Ans-Me*100)، (Ans-Pns/Go-Me*100) Go(panoramic)، (S-Go/N-Me)، (Co-Gn/Co-Ans*100) به (Mf-Mf/Mf-Go(R+L)*100)، (Body/Go-Go*100) کمک آزمون paired T-test در بازه زمانی مختلف مورد ارزیابی قرار گرفت. جهت ارزیابی داده‌های صفر و یک شامل Er, De, P, Sc, d, JM, RCT, C, F, S, M بررسی در بازه زمانی اولیه و ثانویه (قبل و بعد از ارتودنسی) از آزمون آماری mc nemar استفاده شد. داده‌ها توسط نرم‌افزار SPSS ورژن 23 و سطح معنی‌داری 5 درصد آنالیز شدند.

یافته‌ها

در بررسی امکان سنجی استفاده از شواهد آناتومیک و فرمول دندانی، تعداد 180 مورد شامل 97 زن (54 درصد) و 83 مرد (46 درصد) در بازه سنی 15 تا 59 سال (میانگین 25/5 سال) مراجعه کننده به کلینیک شهید شکری و امام خمینی (ره) و هم‌چنین کلینیک ویژه دانشکده دندانپزشکی دانشکده دندانپزشکی دانشگاه علوم

convexity، بازال (پالاتال به مندیبولا)، S.N.Ba، SNB صورت (N.Ans.Me) بود و اندازه‌گیری‌های خطی شامل: S-Ba (Anterior Cranial base) طول (Pos.cranial base) طول Ans-PNS (LAFH) (max Me-Go base مندیبل) CO-Gn به CO-Ans، 100* (N-Ans) (total.mandibular length) طول کلی مندیبل jarabac index (S.go/N.me) (تصویر شماره 3).



تصویر شماره 3: لنمارک‌های مورد استفاده در رادیوگرافی لترال سفالومتری (32).

مشابه آنالیز رادیوگرافی پانورامیک، در رادیوگرافی لترال سفالومتری این کدها به صورت یک کد 11 رقمی، ساخته شدند.

Go, SNA, SNB, S.N.Ba, Basal, N.Ans.Me, S-N/Ba, Ans-Pns/Go-Me, N-Ans/Ans-Me, Co-Ans/ Co-Gn, S-Go/N-Me

لازم به ذکر است در اندازه‌گیری‌های زاویه‌ای بر اساس رفنس تا 2 درجه تفاوت، خطای اندازه‌گیری و بیش از آن از نظر آماری و کلینیکی معنی‌دار در نظر گرفته شد (33).

دندان، در مقایسه گرافی قبل و بعد از درمان تفاوت معنی داری نشان نداد ($P>0/05$) (جدول شماره 3).

در بررسی میانگین شاخص های P ، (Defect) De و E (Erosion) در کبدیل (Pathology) با مقایسه گرافی های قبل و بعد از درمان تفاوت معنی داری مشاهده نشد ($P>0/05$)، (جدول شماره 4).

در بررسی میانگین شاخص های $(Body/Go-Go)$ ، $(Gonial\ angle) Go$ ، $(Mf-Mf/Mf-Go(R+L)) Basal$ ، SNB ، SNA در رادیو گرافی لترال سفالومتری، $(N-Ans/Ans-Me)$ ، $(Ans-Pns/Go-Me)$ ، $N-Ans-Me$ و $(S-Go/N-Me)$ یا (Jarabac Index) با مقایسه گرافی قبل و بعد از درمان تفاوت معنی داری مشاهده نشد ($P>0/05$). بررسی میانگین شاخص های $(Gonial\ angle) Go$ در رادیو گرافی پانورامیک، $(S-N/S-Ba)$ و $(Co-Ans/Co-Gn)$ در مقایسه گرافی قبل و بعد از درمان تفاوت معنی داری نشان داد ($P<0/05$)، (جدول شماره 5).

پژشكى آزاد تهران مورد مطالعه قرار گرفتند. در مرحله اول آناليز، شاخص های اندازه گيرى شده در مطالعه حاضر، که ميانگين آنها بين افراد معنی دار نمي باشد ($P>0/05$)، از جمله شاخص های Im و d در هر دندان، و Sc از مطالعه کنار گذاشته شدند و بررسى بر روی شاخص های به صورت قبل و بعد از درمان انجام گرفت که در مقایسه بين افراد متفاوت بودند و واريанс اوليه آنها معنی دار مي باشد ($P<0/05$). ميانگين شاخص های M (missing) و F (filling) بين دندانها با مقایسه گرافی قبل و بعد از درمان تفاوت معنی داری نداشتند ($P>0/05$)، (جدول شماره 1).

ميانگين شاخص های RCT (Root Canal Therapy) و C (crown) بين دندانها با مقایسه گرافی قبل و بعد از درمان تفاوت معنی داری نداشتند ($P>0/05$). بررسى ميانگين شاخص های Im و d (implant) به طور کلى و بدون در نظر گرفتن شماره (dilaceration) ميانگين شاخص های RCT (Root Canal Therapy) و C (crown) بين دندانها با مقایسه گرافی قبل و بعد از درمان تفاوت معنی داری نداشتند ($P>0/05$). (جدول شماره 2).

جدول شماره 1: شاخص M و F در بازه زمانی مختلف

شاخص M و شماره دندان	درصد قل از ارتودنسی	(frequency1)	درصد بعد از ارتودنسی	(frequency2)	سطح معنی داری (before and after)	شاخص F و شماره دندان	درصد قل از ارتودنسی	(frequency1)	درصد بعد از ارتودنسی	(frequency2)	سطح معنی داری (before and after)	آزمون آماري مورده بررسی (before and after)
Mc Nemar	P>0/999	6/4	6/4	F11	P>0/999	2/9	2/9	M11				
	P>0/999	7	7	F12	P>0/999	3/5	3/5	M12				
	P>0/999	2/9	2/9	F13	P>0/999	2/3	2/3	M13				
	P>0/999	23	23	F14	P>0/999	8/8	8/8	M14				
	P>0/999	21	21	F15	P>0/999	7	7	M15				
	P>0/999	26	26	F16	P>0/999	3/3	3/3	M16				
	P>0/999	22	22	F17	P>0/999	2/9	2/9	M17				
	P>0/999	8/2	8/2	F18	P>0/999	21	21	M18				
	P>0/999	5/2	5/2	F21	P>0/999	2/3	2/3	M21				
	P>0/999	5/2	5/2	F22	P>0/999	5/2	5/2	M22				
	P>0/999	2/3	2/3	F23	P>0/999	2/3	2/3	M23				
	P>0/999	19/4	19/4	F24	P>0/999	8/8	8/8	M24				
	P>0/999	17/6	17/6	F25	P>0/999	7	7	M25				
	P>0/999	24	24	F26	P>0/999	5/8	5/8	M26				
	P>0/999	12/9	12/9	F27	P>0/999	4/7	4/7	M27				
	P>0/999	5/2	5/2	F28	P>0/999	20	20	M28				
	P>0/999	2/3	2/3	F31	P>0/999	2/3	2/3	M31				
	P>0/999	2/9	2/9	F32	P>0/999	2/3	2/3	M32				
	P>0/999	2/9	2/9	F33	P>0/999	2/3	2/3	M33				
	P>0/999	12/9	12/9	F34	P>0/999	5/8	5/8	M34				
	P>0/999	15/2	15/2	F35	P>0/999	4/7	4/7	M35				
	P>0/999	24/1	24/1	F36	P>0/999	8/8	8/8	M36				
	P>0/999	17	17	F37	P>0/999	5/8	5/8	M37				
	P>0/999	4/7	4/7	F38	P>0/999	17/6	17/6	M38				
	P>0/999	2/9	2/9	F41	P>0/999	2/3	2/3	M41				
	P>0/999	2/9	2/9	F42	P>0/999	2/3	2/3	M42				
	P>0/999	2/9	2/9	F43	P>0/999	2/3	2/3	M43				
	P>0/999	14	14	F44	P>0/999	5/8	5/8	M44				
	P>0/999	12/9	12/9	F45	P>0/999	4/7	4/7	M45				
	P>0/999	19/4	19/4	F46	P>0/999	6/4	6/4	M46				
	P>0/999	11/1	11/1	F47	P>0/999	5/2	5/2	M47				
	P>0/999	4/1	4/1	F48	P>0/999	17/6	17/6	M48				

جدول شماره ۲: شاخص RCT و C در بازه زمانی مختلف

شاخص RCT و شماره دندان	درصد قبل از ارتودنسی (frequency1)	سطح معنی داری (before and after)	درصد بعد از ارتودنسی (frequency2)	شاخص C و شماره دندان	درصد قبل از ارتودنسی (frequency1)	سطح معنی داری (before and after)	درصد بعد از ارتودنسی (frequency2)	آزمون آماری مورد بررسی (before and after)
RCT11	2/3	P>0.999	2/3	C11	2/3	P>0.999	2/3	Mc Nemar
RCT12	2/3	P>0.999	2/3	C12	2/3	P>0.999	2/3	P>0.999
RCT13	2/3	P>0.999	2/3	C13	2/3	P>0.999	2/3	P>0.999
RCT14	6/4	P>0.999	6/4	C14	6/4	P>0.999	6/4	P>0.999
RCT15	6/4	P>0.999	6/4	C15	6/4	P>0.999	6/4	P>0.999
RCT16	12/3	P>0.999	12/3	C16	12/3	P>0.999	12/3	P>0.999
RCT17	105	P>0.999	105	C17	105	P>0.999	105	P>0.999
RCT18	2/3	P>0.999	2/3	C18	2/3	P>0.999	2/3	P>0.999
RCT21	2/3	P>0.999	2/3	C21	2/3	P>0.999	2/3	P>0.999
RCT22	2/3	P>0.999	2/3	C22	2/3	P>0.999	2/3	P>0.999
RCT23	2/3	P>0.999	2/3	C23	2/3	P>0.999	2/3	P>0.999
RCT24	12/3	P>0.999	12/3	C24	12/3	P>0.999	12/3	P>0.999
RCT25	11/1	P>0.999	11/1	C25	11/1	P>0.999	11/1	P>0.999
RCT26	16/6	P>0.999	16/6	C26	16/6	P>0.999	16/6	P>0.999
RCT27	12/3	P>0.999	12/3	C27	12/3	P>0.999	12/3	P>0.999
RCT28	2/3	P>0.999	2/3	C28	2/3	P>0.999	2/3	P>0.999
RCT31	2/3	P>0.999	2/3	C31	2/3	P>0.999	2/3	P>0.999
RCT32	2/3	P>0.999	2/3	C32	2/3	P>0.999	2/3	P>0.999
RCT33	2/3	P>0.999	2/3	C33	2/3	P>0.999	2/3	P>0.999
RCT34	12/9	P>0.999	12/9	C34	12/9	P>0.999	12/9	P>0.999
RCT35	15/2	P>0.999	15/2	C35	15/2	P>0.999	15/2	P>0.999
RCT36	17	P>0.999	17	C36	17	P>0.999	17	P>0.999
RCT37	13/6	P>0.999	13/6	C37	13/6	P>0.999	13/6	P>0.999
RCT38	2/3	P>0.999	2/3	C38	2/3	P>0.999	2/3	P>0.999
RCT41	2/3	P>0.999	2/3	C41	2/3	P>0.999	2/3	P>0.999
RCT42	2/3	P>0.999	2/3	C42	2/3	P>0.999	2/3	P>0.999
RCT43	2/3	P>0.999	2/3	C43	2/3	P>0.999	2/3	P>0.999
RCT44	12/9	P>0.999	12/9	C44	12/9	P>0.999	12/9	P>0.999
RCT45	14	P>0.999	14	C45	14	P>0.999	14	P>0.999
RCT46	12/3	P>0.999	12/3	C46	12/3	P>0.999	12/3	P>0.999
RCT47	13/5	P>0.999	13/5	C47	13/5	P>0.999	13/5	P>0.999
RCT48	2/3	P>0.999	2/3	C48	2/3	P>0.999	2/3	P>0.999

جدول شماره ۳: شاخص Im و d در بازه زمانی مختلف

شاخص IM و شماره دندان	درصد قبل از ارتودنسی (frequency1)	سطح معنی داری (before and after)	درصد بعد از ارتودنسی (frequency2)	شاخص d و شماره دندان	درصد قبل از ارتودنسی (frequency1)	سطح معنی داری (before and after)	درصد بعد از ارتودنسی (frequency2)	آزمون آماری مورد بررسی (before and after)
IM Total	15/5	P>0.999	15/5	d Total	15/5	P>0.999	15/5	Mc Nemar

جدول شماره ۴: شاخص De, P و Er در بازه زمانی مختلف

شاخص De	درصد قبل از ارتودنسی (frequency1)	سطح معنی داری (before and after)	درصد بعد از ارتودنسی (frequency2)	شاخص P	درصد قبل از ارتودنسی (frequency1)	سطح معنی داری (before and after)	درصد بعد از ارتودنسی (frequency2)	شاخص Er
(before and after)	(frequency1)	(frequency2)	(before and after)	(before and after)	(frequency1)	(frequency2)	(before and after)	(before and after)
P>0.999	6/6	P>0.999	6/6	P>0.999	2/7	P>0.999	2/7	Mc Nemar
2/7	P>0.999	2/7	2/7	2/7	2/7	2/7	2/7	Paired T-test

جدول شماره ۵: تفاوت زوایای اندازه گیری شده در بازه های زمانی اولیه و ثانویه

شاخص	مانگن - (انحراف معيار بعد از درمان) (sd1)	M* - (sd1)	سطح معنی داری	آزمون آماری مورد بررسی
Go (lateral cephalometry)	+35/9 (7/691265)	+35/5 (7/67391)	P=0/095	Paired T-test
SNA	+80/3 (6/707376)	+80/1 (6/136412)	p=0/169	
SNB	+79/5 (5/657836)	+79/2 (5/130519)	P=0/083	
S.N.Ba	+130/1 (6/912951)	+132/5 (4/835057)	P=0/026	
Basal	+27/9 (8/631338)	+27/2 (5/53815)	p=0/159	
N.Ans.Me	+162/3 (5/537749)	+163/9 (6/186006)	P=0/083	
S-N/S-Ba*100	+145/9 (16/9181)	+148/3 (14/6625)	P=0/023	
Ans-Pns/Go-Me*100	+70/6 (6/232531)	+69/5 (6/20845)	P=0/068	
N-Ans/Ans-Me*100	+79/8 (9/489175)	+79/4 (9/83767)	P=0/109	
Co-Gn/Co-Ans*100	+81/1 (11/602068)	+83/4 (9/3360309)	P=0/040	
S-Go/N-Me	+64/1 (4/677369)	+64/2 (4/521553)	P=0/083	
Go1 (panoramic)	+128/9 (8/217077)	+131/1 (5/817154)	P=0/026	
Go2(panoramic)	+127/7 (8/06115)	+129/9 (5/95069)	P=0/013	
Body/Go-Go*100	+33/6 (3/741657)	+33/2 (3/817254)	P=0/095	
Mf-Mf/Mf-Go(R+L)*100	+44/9 (13/26583)	+44/5 (12/88341)	P=0/082	

بحث

بعد از درمان تفاوت معنی داری نشان داد. بنابراین این دو شاخص نیز از نظر کلینیکال کاملاً با اهمیت هستند و حضور آنها کاملاً در فرمول تشخیص هویت توصیه می‌گردد. شاخص G0 که نمایانگر زاویه گونیال در رادیوگرافی پانورامیک می‌باشد، اگرچه بین نمونه‌ها از نظر آماری اختلاف معناداری داشت اما با بررسی میانگین آن در بازه زمانی متفاوت، نتایج مشابه به دست نیامد که می‌تواند به علت تهیه رادیوگرافی‌ها از مراکز مختلف در تعدادی از نمونه‌ها و همچنین موقعیت متفاوت سر در هنگام تهیه رادیوگرافی باشد که در صورت رفع این نواقص، این لندهمارک نیز می‌تواند به موارد دیگر به جهت افزایش هرچه بیشتر دقت پروسه تشخیص هویت اضافه شود. جهت اختصاصی تر کردن هرچه بیشتر فرمول تشخیص هویت و افزایش دقت در افراد جامعه به خصوص افراد بدون دندان، شاخص‌هایی در رادیوگرافی لترال سفالومتری شناسایی و مورد استفاده قرار گرفت. لندهمارک‌های G0 در لترال سفالومتری، N-Ans/Ans-Me، N-Ans-Me، Basal، SNB، SNA، S-Go/N-Me، Ans-Pns/Go-Me متفاوت و اختصاصی بود و میانگین آنها در طول زمان بدون اختلاف معنادار و بنابراین بسیار کمک کننده در هرچه بیشتر اختصاصی شدن تشخیص هویت می‌باشند. لندهمارک‌های Co-Gn/Co-Ans و S-N/N-Ba، S-N-Ba و بین نمونه‌های مختلف دارای اختلاف معنی دار بودند و بررسی رادیوگرافی‌ها در بازه زمانی مختلف تفاوتی نشان داد که از نظر آماری قابل ملاحظه در نظر گرفته شد. از دلایل این اختلاف در تعداد قابل توجهی از نمونه‌های مورد مطالعه می‌توان به سپرایمپوزیشن لندهمارک‌ها به خصوص در ناحیه Ba و C0 و به تبع آن تفاوت در اندازه گیری بین ارتدنتیستها و همچنین تفاوت در تهیه گرافی‌ها بین مراکز مختلف در شماری از نمونه‌ها اشاره کرد. البته باید اشاره کرد در مواردی که این نقاط کاملاً واضح بود، در بازه زمانی مختلف تفاوت معنادار نبود و کمک کننده در پروسه تشخیص

این مطالعه به بررسی امکان سنجی استفاده از شواهد آناتومیک و همچنین فرمول دندانی در تشخیص قربانی حادث جمعی پرداخته است. هدف این مطالعه یافتن راهکاری جایگزین در تشخیص هویت انسانی می‌باشد که در مقایسه با تست‌های DNA که امروزه به طور رایج جهت این امر صورت می‌گیرد، می‌تواند بسیار کارآمدتر و سریع‌تر باشد.

در این پژوهش شاخص‌های متعددی در نمونه‌های مورد بررسی، تحت مطالعه قرار گرفتند که تعداد قابل توجهی از آنها می‌توانند جهت تشخیص هویت انسانی مورد استفاده قرار گیرند. شاخص‌های مورد مطالعه در رادیوگرافی پانورامیک با درجه اعتماد بسیار بالای در رسیدن به اهداف تحقیق کمک کننده بودند. بررسی لندهمارک‌های M، C، F، De، RCT، Er در رادیوگرافی (mf-mf/mf-Go(R+L))، (Body/Go-Go) پانورامیک نشان داد که این شاخص‌ها بین افراد مختلف متفاوت می‌باشد، اما میانگین آنها در فاصله زمانی حداقل دو سال مشابه می‌باشد که نشان از اهمیت بالای موارد مذکور در فرآیند تشخیص هویت می‌باشد. شاخص‌های G0 از نظر آماری بین نمونه‌ها متفاوت نبود که دلیل آن عدم وجود این شاخص‌ها در تعداد قابل توجهی از نمونه‌های مورد مطالعه می‌باشد. در واقع می‌توان گفت با وجود اینکه از نظر آماری معنادار نیستند اما از لحاظ کلینیکی اهمیت دارند و در صورت وجود می‌توانند تا حد بسیار زیادی به اختصاصیت فرمول فردی بینزاید و بنابراین وجود آنها در فرمول به شدت توصیه می‌شود. شاخص‌های Imp و d_a با در نظر گرفتن هر دندان به صورت جداگانه تفاوت آماری قابل ملاحظه‌ای بین افراد نشان ندادند و میانگین آنها در مقایسه گرافی قبل و بعد از درمان تفاوت معناداری نشان نداد، اما با بررسی این شاخص به طور کلی (total) و بدون در نظر گرفتن شماره دندان، تفاوت آماری قابل ملاحظه‌ای بین افراد مشاهد شد و میانگین آنها در مقایسه گرافی قبل و

همچنین شاخص‌های سفالومتریک در هیچ مطالعه‌ای در طراحی فرمول دندانی و آناتومیک مورد استفاده قرار نگرفته است. مطالعات قبلی در بررسی رادیوگرافی پانورامیک در کمک به تشخیص هویت انسانی دارای نقایصی در طراحی و اجرا از جمله حجم ناکافی نمونه و همچنین بررسی صرف ایندکس‌های خاص مثل تأکید بر پرکردگی و عدم بررسی دیگر شاخص‌ها بودند و بررسی‌های forensic در رادیوگرافی لترال سفالومتری معمولاً محدود به تفاوت‌های جنسیتی بود و شاخص‌های آناتومیک در هیچ مطالعه‌ای به‌طور مستقیم در شناسایی هویت به کار برده نشده بود. مطالعه حاضر با تلفیق تعداد زیادی از لندرمارک‌های دندانی و سفالومتریک سعی در کاهش هرچه بیشتر نقایص در این زمینه داشته و می‌تواند جایگزین مناسبی برای تست‌های DNA، اثر انگشت و سایر روش‌های سنتی در زمینه تشخیص هویت در نظر گرفته شود.

در جدیدترین مطالعه در زمینه forensic dentistry که در سال 2022 با موضوع "رادیوگرافی دندانی و دیجیتال در کنار پروسه‌های بیولوژیک در تشخیص هویت انسان" به چاپ رسید، ضمن بررسی جامع روش‌های گوناگون در پروسه تشخیص هویت، تأکید زیادی بر روش‌های مبتنی بر رادیوگرافی کرده است و این متدا را از متدهای اصلی تشخیص هویت در آینده دانسته است⁽⁵⁾. با توجه به زمانبر و پرهزینه بودن تست‌های تشخیصی سنتی، می‌توان از رویکرد تشخیصی جایگزین با هزینه کمتر و صرفه جویی بیشتر در زمان و همچنین اثربخشی مشابه استفاده کرد و بدین ترتیب کمک بزرگی در جهت تشخیص هویت انسانی صورت می‌گیرد. نتیجه تحقیق حاضر حاکی از آن است که در صورت وجود گرافی‌های Base line، با تهیه گرافی‌های مورد بررسی پس از حوادث جمعی، فرمول خلاقانه زیر می‌تواند در تشخیص هویت انسانی مورد استفاده قرار گیرد و با کاربرد درست، جایگزین روش‌های قدیمی در این زمینه باشد.

هویت بود و در صورت کیفیت خوب گرافی‌ها و تهیه آن‌ها از یک مرکز و همچنین یکسان‌سازی تریسینگ سفالومتری‌ها با نرم‌افزارهای تریسینگ، این نقاط می‌تواند تا حد بسیار زیادی به دقت تشخیص هویت اضافه کند. لازم به ذکر است اندازه‌گیری‌ها بین ارتدونتیست‌ها در خصوص شاخص‌های مذکور تفاوتی نداشت (به جز در مواردی که نقاطی چون Ba و Co وجود داشتند که مورد بحث قرار گرفت) و شاخص‌هایی مانند زاویه اینتر اینسایزال (II) که می‌تواند زاویه مهم دیگری در پروسه تشخیص هویت باشد، به دلیل تحت تاثیر قرار گرفتن ناخواسته در حین ارتدونسی و به تبع آن تفاوت بین گرافی‌های اولیه و ثانویه از ابتدا از مطالعه کنار گذاشته شد.

فرمول آناتومیک و دندانی به‌دست آمده از جهات متعددی نسبت به موارد سنتی تر Forensic Dentistry دارای مزیت می‌باشد. تکنیک‌های DNA-BASE که روش سنتی اصلی در پروسه تشخیص هویت می‌باشد، با وجود دقت بالا، زمانبر بوده و هزینه بالای نیز دارند و جایگزینی آن‌ها با تکنیک‌های ساده‌تر می‌تواند باعث سهولت و پیشرفت بیشتر دندانپزشکی قانونی گردد. بیومارک‌های خاص، آنزیم‌ها و گروه خونی از فاکتورهای کمک‌کننده رایج دیگری در پروسه تشخیص هویت هستند که می‌توانند از بزاق و خون به جا مانده به دست آیند. بدیهی است که این موارد در معرض آلودگی دچار دژنراسیون شده⁽⁵⁾ و اهمیت تشخیصی خود را از دست می‌دهند. موارد دیگر نیز از جمله Lip Print و Bite Mark و خصوصیات ظاهری بافت نرم صورت علاوه بر این رفتن با گلدر زمان، در حوادث طبیعی، کشتار جنگی و آتش‌سوزی‌ها در معرض آسیب بوده و تکنیک‌های دیگری با رفنس‌های بافت سخت جهت تشخیص هویت دارای برتری می‌باشد. در توجیه اقدام به پژوهش حاضر، باید توجه داشت که تا کنون هیچ مطالعه‌ای به صورت مستقیم از لندرمارک‌های رادیوگرافی پانورامیک در تشخیص هویت استفاده نکرده است و

نمونه به دلیل کیفیت نامناسب یکی از چهار رادیوگرافی هر نمونه بالا جبار کنار گذاشته شدند. بنابراین پیشنهاد می‌شود مواردی با همین فرمولاسیون اما به صورت آینده‌نگر انجام شود تا بتوان مداخله گرهایی از جمله کیفیت رادیوگرافی و محل تهیه رادیوگرافی‌ها را حذف کرد و با انتکای بیشتری از این فرمول در تشخیص هویت انسانی استفاده نمود. همچنین پیشنهاد می‌شود در کنار مطالعات آینده‌نگر در این زمینه و در جمعیت غیر درمانی، مطالعاتی در خصوص مقایسه این روش خلاقانه و تست‌های تشخیصی سنتی صورت گیرد تا در صورت تایید کارایی آن‌ها به طور جامعی در پروسه تشخیص هویت انسانی مطرح شود.

M, S, Im, C, F, RCT, d, Body/Go-Go, Mf-mf/mf-Go(R+L), Sc/De/Er/P, Go, SNA, SNB, Basal, N.Ans.Me, Ans-Pns/Go-Me, N-Ans/Ans-Me, S-Go/N-Me

لازم به ذکر است هیچ گونه تعارض منافعی در این مطالعه وجود نداشته و پروژه با هزینه شخصی و بدون حمایت مالی سازمانی یا شرکتی انجام شده است.

پیشنهادات و محدودیت‌ها

جمع‌آوری نمونه‌های مطابق با معیارهای ورود و خروج، از مشکلات این طرح بود و به دلیل عدم تناسب با معیارهای مذکور مجبور به حذف تعداد قابل توجهی از رادیوگرافی‌ها شدیم. همچنین تعداد قابل توجهی

References

- Hofer M, Marana A. Dental Biometrics: Human Identification Based On Dental Work Information. Proceedings of the 20th Brazilian Symposium on Computer Graphics and Image Processing. 2007 Nov; Sibgrapi 2007.
- Oktay A. Human Identification with Dental Panoramic Radiographic Images. IET Biom 2017; 7(4): 349-355.
- Durão AR, Pittayapat P, Rockenbach MI, Olszewski R, Ng S, Ferreira AP, et al. Validity of 2D lateral cephalometry in orthodontics: a systematic review. Prog Orthod 2013; 14(1): 31.
- Ayoub F, Yehia M, Rizk A, Al-Tannir M, Abi-Farah A, Hamadeh G. Forensic norms of female and male Lebanese adults. J Forensic Odontostomatol 2008; 26(1): 18-23.
- Yazdanian M, Karami S, Tahmasebi E, Alam M, Abbasi K, Rahbar M, et al. Dental Radiographic/Digital Radiography Technology along with Biological Agents in Human Identification. Scanning 2022; 2022: 5265912.
- Sengupta N, Sarode SC, Sarode GS, Gadball AR, Gondivkar S, Patil S, et al. Analysis of 100 most cited articles on forensic odontology. Saudi Dent J 2020; 32(7): 321-329.
- Verma AK, Kumar S, Rathore S, Pandey A. Role of dental expert in forensic odontology. Natl J Maxillofac Surg 2014; 5(1): 2-5.
- Ata-Ali J, Ata-Ali F. Forensic dentistry in human identification: A review of the literature. J Clin Exp Dent 2014; 6(2): e162-e167.
- Stavrianos C, Stavrianou I, Dietrich E-M, Kafas P, editors. Methods for human identification in Forensic Dentistry: A Review. J Forensic Sci 2008; 4(1): 1-8.
- Heinrich A, Gütter FV, Schenkl S, Wagner R, Teichgräber UK. Automatic human identification based on dental X-ray radiographs using computer vision. Sci Rep 2020; 10(1): 3801.
- Lundberg E, Mihajlovic NS, Sjöström M, Ahlvist J. The use of panoramic images for identification of edentulous persons. J Forensic Odontostomatol 2019; 37(2): 18-24.

12. Aeini F, Ghonoodi A, Aeini R. Automatic Human Dental Identification based on Posterior and Anterior Teeth. *Iran Biomed J* 2018; 12(3): 173-187.
13. Ubelaker DH, Khosrowshahi H. Estimation of age in forensic anthropology: historical perspective and recent methodological advances. *Forensic Sci Res* 2019; 4(1): 1-9.
14. Chen H, Jain AK. Dental biometrics: alignment and matching of dental radiographs. *IEEE Trans Pattern Anal Mach Intell* 2005; 27(8): 1319-1326.
15. Yuniarti A. Classification and Numbering of Dental Radiographs for an Automated Human Identification System. *Telkomnika* 2012; 10(1): 137-146.
16. Pushparaj V, Gurunathan U, Arumugam B. An effective dental shape extraction algorithm using contour information and matching by Mahalanobis distance. *J Digit Imaging* 2013; 26(2): 259-268
17. Frejlichowski D, Wanat R. Extraction of Teeth Shapes from Orthopantomograms for Forensic Human Identification. In: Real P, Diaz-Pernil D, Molina-Abril H, Berciano A, Kropatsch W. (eds) Computer Analysis of Images and Patterns. Springer: Berlin; 2011. p.65-72
18. Lin P, Huang P, Cho Y, Kuo C. An automatic and effective tooth isolation method for dental radiographs. *Opto-Electron Rev* 2013; 21: 126-136.
19. Guzel S, Oktay AB, Tufan K, editors. Automatic Tooth Identification in Dental Panoramic Images with Atlas-based Models. Proc Int Conf on PatternRecognition Applications and Methods; 2015 Jan; Lisbon, Portugal; 2015.
20. Reesu GV, Woodsend B, Mânică S, Revie GF, Brown NL, Mossey PA. Automated Identification from Dental Data (AutoIDD): A new development in digital forensics. *Forensic Sci Int* 2020; 309: 110218.
21. Forrest A. Forensic odontology in DVI: current practice and recent advances. *Forensic Sci Res* 2019; 4(4): 316-330.
22. Suragimath G, Ashwinirani SR ,Christopher V, Bijjargi S, Pawar R, Nayak A. Gender determination by radiographic analysis of mental foramen in the Maharashtra population of India. *J Forensic Dent Sci* 2016; 8(3): 176.
23. Zhong X, Yu D, Wong YS, Sim T, Lu WF, Foong KWC, et al. 3D dental biometrics: Alignment and matching of dental casts for human identification. *Comput Ind* 2013; 64(9): 1355-1370.
24. Sharma D, Koshy G, Pabla A, Garg S, Singh M. An insight into the awareness and utilization of "dental evidence" among the police force in Punjab. *J Forensic Dent Sci* 2018; 10(1): 27-33.
25. Prajapati G, Sarode SC, Sarode GS, Shelke P, Awan KH, Patil S. Role of forensic odontology in the identification of victims of major mass disasters across the world: A systematic review. *PLoS One* 2018; 13(6): e0199791.
26. Guimarães MI, Silveira A, Sequeira T, Gonçalves J, Carneiro Sousa MJ, Valenzuela A. Forensic Medicine and the Military Population: International Dental Records and Personal Identification Concerns. *Acta Med Port* 2017; 30(2): 100-107.
27. Ohtani M, Oshima T, Mimasaka S .Extra-oral dental radiography for disaster victims using a flat panel X-ray detector and a handheld X-ray generator. *J Forensic Odontostomatol* 2017; 35(2): 28-34.
28. de Cassia Silva Azevedo A, Michel-Crosato E, Haye Biazovic MG. Radiographic evaluation

- of dental and cervical vertebral development for age estimation in a young Brazilian population. *J Forensic Odontostomatol* 2018; 36(2): 31-39.
29. Chen H, Zhang K, Lyu P, Li H, Zhang L, Wu J, et al. A deep learning approach to automatic teeth detection and numbering based on object detection in dental periapical films. *Sci Rep* 2019; 9(1): 3840.
30. Suragimath G, Ashwinirani SR, Christopher V, Bijuargi S, Pawar R, Nayak A. Gender determination by radiographic analysis of mental foramen in the Maharashtra population of India. *J Forensic Dent Sci* 2016; 8(3): 176.
31. Radhakrishnan PD, Sapna Varma NK, Ajith VV. Dilemma of gonial angle measurement: Panoramic radiograph or lateral cephalogram. *Imaging Sci Dent* 2017; 47(2): 93-97.
32. Hlongwa P. Cephalometric analysis: manual tracing of a lateral cephalogram. *S Afr Dent J* 2019; 74(6): 318-322.
33. Scheffler NR, Proffit WR, Phillips C. Outcomes and stability in patients with anterior open bite and long anterior face height treated with temporary anchorage devices and a maxillary intrusion splint. *Am J Orthod Dentofacial Orthop* 2014; 146(5): 594-602.